

УДК 621.391

В.И. СЛЮСАР, А.А. ЗИНЧЕНКО

МЕТОДЫ ГАРАНТОСПОСОБНОЙ ПЕРЕДАЧИ СООБЩЕНИЙ В РАДИОРЕЛЕЙНЫХ СИСТЕМАХ СВЯЗИ

В статье рассматривается обобщение алгоритмических аспектов методов кодирования сигналов, используемых в системах MIMO, для решения проблем гарантоспособной радиорелейной связи. Предлагается использование сигналов двойной поляризации и квартета ортогональных пакетов OFDM для реализации пространственно-поляризационно-частотного кодирования.

радиорелейная связь, двойная поляризация, система MIMO, схема Аламоути, метод наименьших квадратов, метод максимального правдоподобия.

Введение

При решении задач передачи информации в критических приложениях на первое место выходит обеспечение высокой надежности доставки сообщений, даже в ущерб пропускной способности каналов связи. В этом смысле не являются исключением и радиорелайные системы. В простейшем случае для этого может применяться многократная передача одних и тех же данных с заданной кратностью повторения. Однако такой подход может быть более эффективным, если его дополнить поляризационным кодированием передаваемых сигналов.

Целью статьи является рассмотрение алгоритмических аспектов обобщения используемых в системах MIMO методов кодирования сигналов на решение задачи гарантоспособной радиорелайной связи.

Результаты исследований

В основе создания большинства гарантоспособных систем телекоммуникаций лежит применение сигналов двойной поляризации излучения. Такой вариант потенциально позволяет в два раза повысить кратность передачи данных. Подробный анализ принципов функционирования систем MIMO, приведенный в [1], позволяет обобщить ряд характерных для них методов кодирования применительно к радиорелайным каналам связи. В этом ряду заслу-

живают внимание расширенная схема кодирования Аламоути (Extended Alamouti Scheme) [1]. Ее суть для случая использования 4-х передатчиков проиллюстрирована в табл. 1.

Таблица 1

Случай использования 4-х передатчиков

	Антenna 1	Антenna 2	Антenna 3	Антenna 4
Интервал № 1	x_i	x_{i+1}	x_{i+2}	x_{i+3}
Интервал № 2	x_{i+1}^*	$-x_i^*$	x_{i+3}^*	$-x_{i+2}^*$
Интервал № 3	x_{i+2}^*	x_{i+3}^*	$-x_i^*$	$-x_{i+1}^*$
Интервал № 4	x_{i+3}	$-x_{i+2}$	$-x_{i+1}$	x_i

Использование сигналов двойной поляризации и квартета ортогональных частотных групп в пакете OFDM позволяет структурировать информационное сообщение, подлежащее передаче, в виде, представленном в табл. 2.

Таблица 2

Структуризация информационного сообщения

Порядковый номер частотной группы	Антenna № 1		Антenna № 2	
	Поляризация H	Поляризация V	Поляризация H	Поляризация V
1	x_i	x_{i+1}	x_{i+2}	x_{i+3}
2	x_{i+1}^*	$-x_i^*$	x_{i+3}^*	$-x_{i+2}^*$
3	x_{i+2}^*	x_{i+3}^*	$-x_i^*$	$-x_{i+1}^*$
4	x_{i+3}	$-x_{i+2}$	$-x_{i+1}$	x_i

Такое обобщение расширенной схемы Аламоути в известных публикациях авторам не встречалось, хотя оно и является достаточно тривиальным. Для его реализации в офисных технологиях связи могут использоваться две пары вибраторных излучателей, ориентированных в ортогональных плоскостях поляризации (рис. 1).

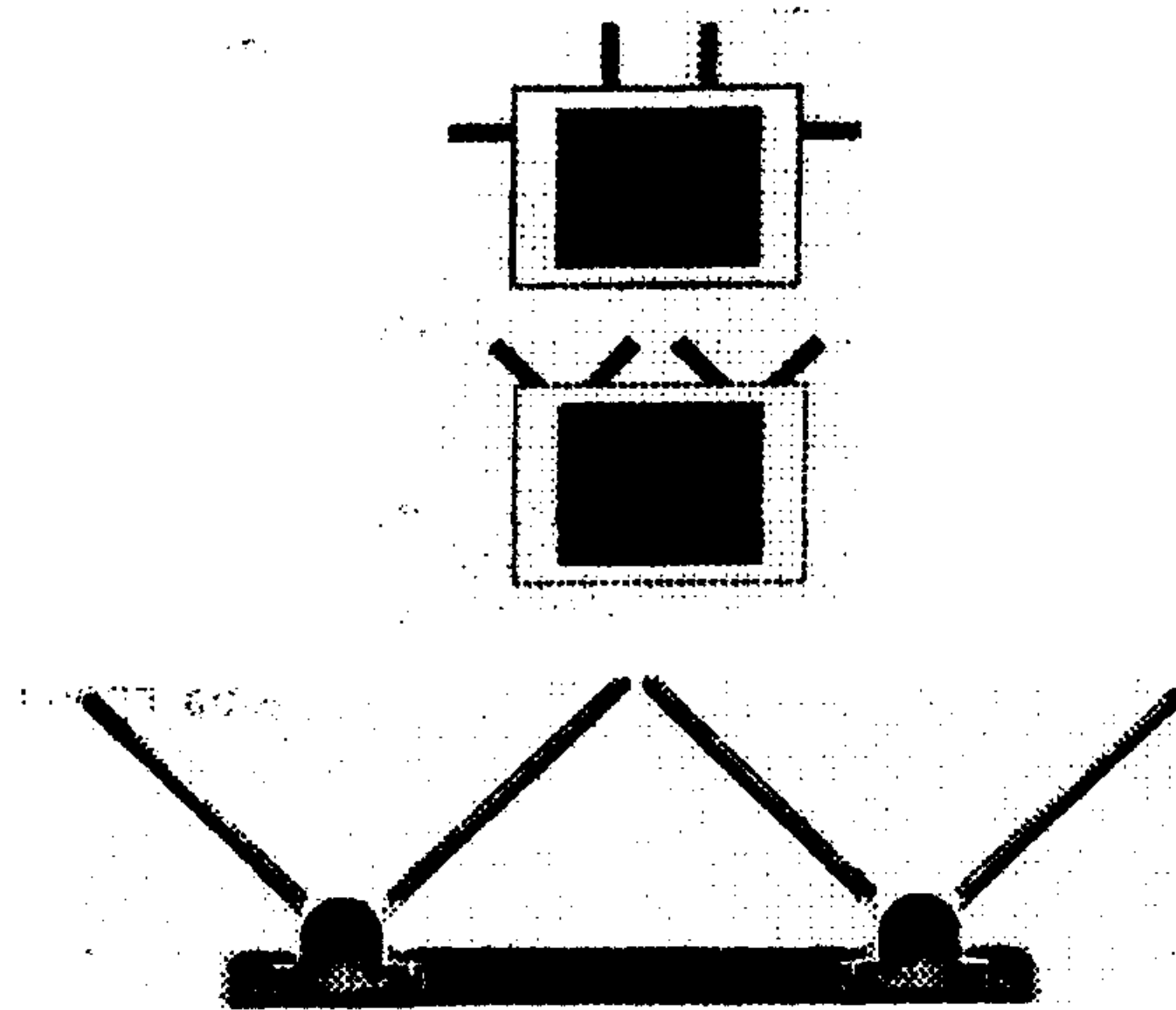


Рис. 1. Две пары вибраторных излучателей, ориентированных в ортогональных плоскостях поляризации

Применительно же к задаче радиорелейной связи, обобщением идеи аналогичных групповых излучателей может быть антенна, приведенная на рис. 2. В ней применяется синфазная запитка антенных элементов, расположенных по вертикали, что позволяет рассматривать четырехэлементный облучатель как двухэлементную антенну решетку.

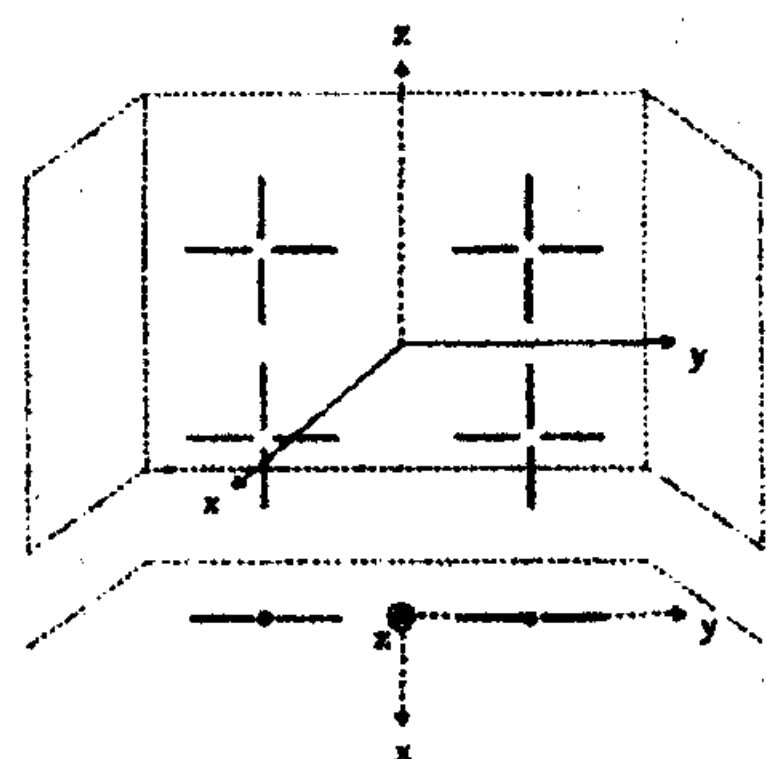


Рис. 2. Антенна с синфазной запиткой антенных элементов, расположенных по вертикали

Декодирование полученных сообщений на приемной стороне в этом случае производится по аналогии с традиционным вариантом расширенной

схемы Аламоути, решением системы уравнений, составленной по напряжениям принятой сигнальной смеси, относительно неизвестных амплитудных коэффициентов излучателей, например, по методу наименьших квадратов. При условии нормально распределенных некоррелированных шумов такой метод оценивания, как известно, будет эквивалентен оптимальному методу максимального правдоподобия.

Как альтернативный вариант, применительно к антенной системе, приведенной на рис. 2, может использоваться алгоритм кодирования, основанный на мультиплексировании сигналов по принципу магического квадрата [1]. Его новые версии, обобщенные для реализации пространственно-поляризационно-частотного кодирования, могут быть представлены в виде опорной табл. 3 или 4, в зависимости от выбранного варианта заполнения магического квадрата, из числа рассмотренных в [1].

Таблица 3

Версия № 1 алгоритма кодирования

Порядковый номер частотной группы	Антenna № 1		Антenna № 2	
	Поляризация H	Поляризация V	Поляризация H	Поляризация V
1	S_4	S_1	S_2	S_3
2	S_1	S_4	S_3	S_2
3	S_3	S_2	S_1	S_4
4	S_2	S_3	S_4	S_1

Таблица 4

Версия № 2 алгоритма кодирования

Порядковый номер частотной группы	Антenna № 1		Антenna № 2	
	Поляризация H	Поляризация V	Поляризация H	Поляризация V
1	S_4	S_3	S_2	S_1
2	S_1	S_2	S_3	S_4
3	S_1	S_2	S_3	S_4
4	S_4	S_3	S_2	S_1

Как видно, пространственно-поляризационно-частотное кодирование по магическому квадрату

обеспечивает четырехкратное дублирование передаваемой информации, что позволяет повысить надежность радиорелайной связи.

Существуют и другие варианты переноса в плоскость решения задач радиорелайной связи с двойной поляризацией излучения методов кодирования, используемых в ММО-системах. Рассмотренных выше примеров достаточно, чтобы пояснить общий принцип соответствующей адаптации процедур кодирования сигналов.

Чтобы снизить потери в скорости передачи, вызванные многократным дублированием пересылаемой информации, в гарантоспособных радиорелайных линиях двойная поляризация сигналов должна сочетаться с их многоуровневой квадратурной амплитудной модуляцией (ML-QAM). В практике радиорелайной связи используются варианты этой спектрально эффективной модуляции типа 64QAM, 128QAM и даже 256QAM (цифры указывают на количество символьных уровней, используемых для модуляции комплексных амплитуд сигналов). Однако для реализации столь высоких порядков модуляции ML-QAM необходимо обеспечить низкий уровень кроссполяризационных помех. В случае OFDM-сигналов эта задача может решаться в рамках двух основных методов распределения частот поднесущих сигналов двойной поляризации, приведенных на рис. 3.

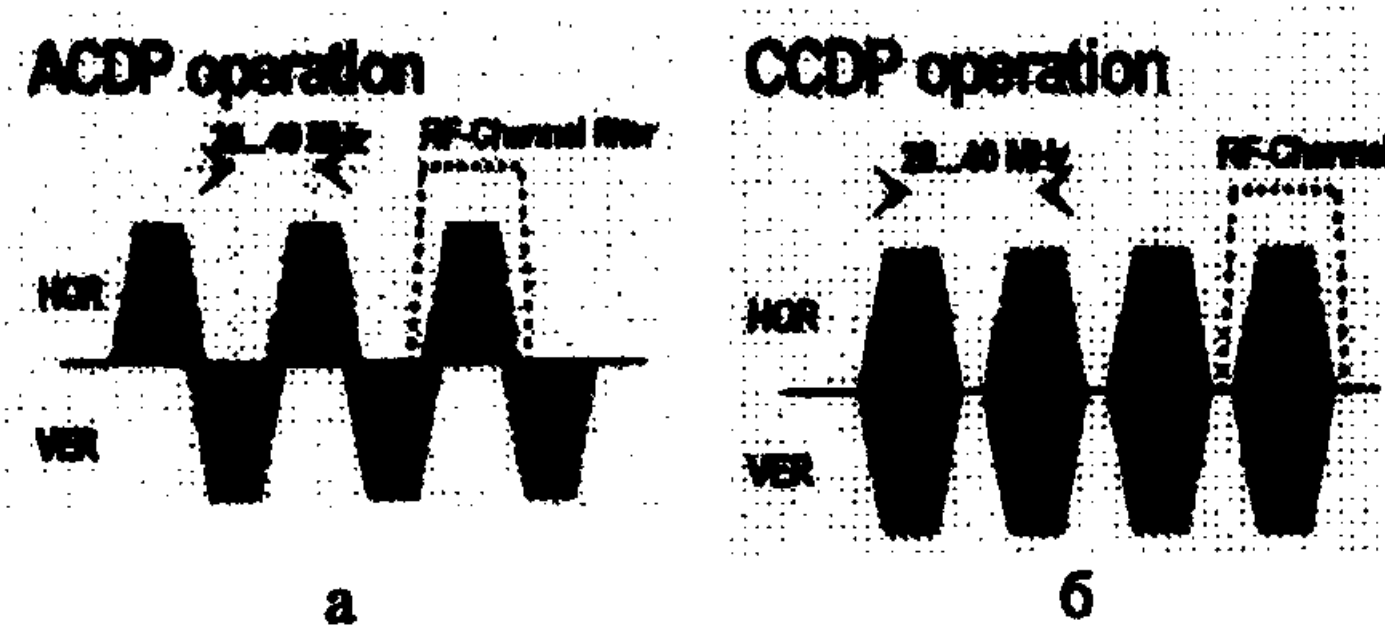


Рис. 3. Методы расстановки частот поднесущих сигналов двойной поляризации:
а – АСДР – на соседних частотных каналах,
б – ССДР – на совмещенных частотных каналах

Метод АСДР (Adjacent Channel Dual Polarized) [2] предполагает использование разных частот сигналов (соседних или смежных по частотной сетке) на ортогональных поляризациях. Поэтому его прак-

тическая реализация более проста в техническом и алгоритмическом отношениях, а развязка между сигналами разных поляризаций дополнительно повышается за счет частотно-селективного действия амплитудно-частотных характеристик частотных фильтров. Однако при OFDM-методе модуляции сигналов технология АСДР не позволяет эффективно использовать отведенный спектральный диапазон.

Данного недостатка лишен метод повышения пропускной способности в радиорелайных системах за счет использования поляризационной развязки в одном (совмещенном) частотном канале (Co-channel Dual Polar system – ССДР) [2]. Он известен достаточно давно и активно используется производителями магистральных радиорелайных систем на частотах от 4 до 8 ГГц [3]. Там же в [3] подтверждена его эффективность для диапазона 13 – 18 ГГц, используемого сотовыми операторами для внутризоновых радиорелайных магистралей.

Результативность применения ССДР во многом определяется коэффициентом кроссполяризационной развязки антенн (XPD). Однако, даже, если величина соответствующего параметра будет недостаточной, проблема минимизации кроссполяризационных помех при методе ССДР может быть успешно решена с помощью введения в состав аппаратуры специальной системы подавления кроссполяризационной помехи (Cross-Polarization Interference Cancellation, XPIC).

Основная идея метода XPIC в варианте цифровой реализации пояснена на рис. 4 [4].

В самом простом воплощении суть применения процедуры XPIC состоит в том, что по контрольным сигналам, подаваемым последовательно на каждой из ортогональных поляризаций, сначала замеряются уровни "пролаза" сигналов из соседней поляризации. В предположении, что измеренные коэффициенты кроссполяризационной связи не изменяются слишком динамично, полученные коэффициенты используются на этапе приема информационных сообщений для вычитания кроссполяризационных помех из полезных сигналов. При этом аналитич-

ская запись процедуры ХРІС может быть представлена в виде:

$$\begin{cases} \tilde{\dot{U}}_{Hr} = \dot{U}_{Hr} - q_{HV} \dot{U}_{Vr}; \\ \tilde{\dot{U}}_{Vr} = \dot{U}_{Vr} - q_{VH} \dot{U}_{Hr}, \end{cases}$$

где $\tilde{\dot{U}}_{Hr}$, $\tilde{\dot{U}}_{Vr}$ – комплексные напряжения сигналов, полученные по выходу r -го частотного фильтра в каналах горизонтальной и вертикальной поляризаций в результате выполнения операции ХРІС; \dot{U}_{Hr} ,

\dot{U}_{Vr} – комплексные напряжения сигналов, полученные по выходу r -го частотного фильтра в каналах горизонтальной и вертикальной поляризаций до выполнения операции ХРІС; q_{HV} , q_{VH} – измеренные на этапе входления в связь коэффициенты кроссполяризационной связи.

Более строгий подход предполагает одновременную подачу двух контрольных сигналов на ортогональных поляризациях. При этом по аналогии с оцениванием каналов передачи сигналов в системах МММО, на этапе входления в связь производится оценивание характеристик поляризационных каналов. При этом может быть реализовано два разных по степени сложности подхода. Первый из них базируется на предположении, что оба поляризационных канала имеют идентичные характеристики, т.е. выполняется не только равенство $q_{HV} = q_{VH}$, но и равны коэффициенты их передачи на основных поляризациях ($q_H = q_V$). При таких допущениях следует решить систему уравнений вида:

$$\begin{cases} \dot{U}_{Hr} = q_H \dot{P}_{Hr} + q_{HV} \dot{P}_{Vr}; \\ \dot{U}_{Vr} = q_H \dot{P}_{Vr} + q_{VH} \dot{P}_{Hr}, \end{cases}$$

где неизвестными служат коэффициенты q_H (q_V) и q_{HV} (q_{VH}), а величины \dot{P}_{Hr} , \dot{P}_{Vr} являются известными комплексными амплитудами контрольных сигналов, излученных на ортогональных поляризациях.

В данном простейшем случае искомые оценки коэффициентов передачи имеют вид:

$$q_H = \frac{\begin{vmatrix} \dot{U}_{Hr} & \dot{P}_{Vr} \\ \dot{U}_{Vr} & \dot{P}_{Hr} \end{vmatrix}}{\begin{vmatrix} \dot{P}_{Hr} & \dot{P}_{Vr} \\ \dot{P}_{Vr} & \dot{P}_{Hr} \end{vmatrix}}; \quad q_{HV} = \frac{\begin{vmatrix} \dot{P}_{Hr} & \dot{U}_{Hr} \\ \dot{P}_{Vr} & \dot{U}_{Vr} \end{vmatrix}}{\begin{vmatrix} \dot{P}_{Hr} & \dot{P}_{Vr} \\ \dot{P}_{Vr} & \dot{P}_{Hr} \end{vmatrix}}.$$

Как видно, задача оценивания величин $q_{HV} = q_{VH}$ и $q_H = q_V$ может быть решена при условии $\dot{P}_{Hr} \neq \dot{P}_{Vr}$.

При более общем подходе, когда $q_{HV} \neq q_{VH}$ и $q_H \neq q_V$, для составления нормальной системы уравнений необходимо использовать минимум два временных отсчета или, в случае сигналов OFDM, – выходные напряжения пары частотных фильтров. Соответствующая паре фильтров OFDM система уравнений для определения коэффициентов передачи записывается, в пренебрежении шумами, следующим образом:

$$\begin{cases} \dot{U}_{H1} = q_H \dot{P}_{H1} + q_{HV} \dot{P}_{V1}; \\ \dot{U}_{H2} = q_H \dot{P}_{H2} + q_{HV} \dot{P}_{V2}; \\ \dot{U}_{V1} = q_{VH} \dot{P}_{H1} + q_V \dot{P}_{V1}; \\ \dot{U}_{V2} = q_{VH} \dot{P}_{H2} + q_V \dot{P}_{V2}. \end{cases}$$

Применение известного в алгебре правила Крамера позволяет записать искомые оценки в виде отношения определителей:

$$q_H = \frac{\begin{vmatrix} \dot{U}_{H1} & \dot{P}_{V1} & 0 & 0 \\ \dot{U}_{H2} & \dot{P}_{V2} & 0 & 0 \\ \dot{U}_{V1} & 0 & \dot{P}_{H1} & \dot{P}_{V1} \\ \dot{U}_{V2} & 0 & \dot{P}_{H2} & \dot{P}_{V2} \end{vmatrix}}{\det}; \quad q_{HV} = \frac{\begin{vmatrix} \dot{P}_{H1} & \dot{U}_{H1} & 0 & 0 \\ \dot{P}_{H2} & \dot{U}_{H2} & 0 & 0 \\ 0 & \dot{U}_{V1} & \dot{P}_{H1} & \dot{P}_{V1} \\ 0 & \dot{U}_{V2} & \dot{P}_{H2} & \dot{P}_{V2} \end{vmatrix}}{\det};$$

$$q_V = \frac{\begin{vmatrix} \dot{P}_{H1} & \dot{P}_{V1} & \dot{U}_{H1} & 0 \\ \dot{P}_{H2} & \dot{P}_{V2} & \dot{U}_{H2} & 0 \\ 0 & 0 & \dot{U}_{V1} & \dot{P}_{V1} \\ 0 & 0 & \dot{U}_{V2} & \dot{P}_{V2} \end{vmatrix}}{\det}; \quad q_{VH} = \frac{\begin{vmatrix} \dot{P}_{H1} & \dot{P}_{V1} & 0 & \dot{U}_{H1} \\ \dot{P}_{H2} & \dot{P}_{V2} & 0 & \dot{U}_{H2} \\ 0 & 0 & \dot{P}_{H1} & \dot{U}_{V1} \\ 0 & 0 & \dot{P}_{H2} & \dot{U}_{V2} \end{vmatrix}}{\det};$$

$$\det = \begin{vmatrix} \dot{P}_{H1} & \dot{P}_{V1} & 0 & 0 \\ \dot{P}_{H2} & \dot{P}_{V2} & 0 & 0 \\ 0 & 0 & \dot{P}_{H1} & \dot{P}_{V1} \\ 0 & 0 & \dot{P}_{H2} & \dot{P}_{V2} \end{vmatrix}.$$

Условием существования таких оценок является соблюдение неравенства $\dot{P}_{H1} \dot{P}_{V2} \neq \dot{P}_{H2} \dot{P}_{V1}$.

Используя полученные оценки коэффициентов передачи по основным и кроссполяризованным компонентам, в режиме приема полезных сигналов следует решить систему уравнений, в которой, на этот раз, неизвестными будут комплексные амплитуды принятых сигналов:

$$\begin{cases} \dot{U}_{Hr} = q_H \dot{A}_{Hr} + q_{HV} \dot{A}_{Vr}; \\ \dot{U}_{Vr} = q_V \dot{A}_{Vr} + q_{VH} \dot{A}_{Hr}. \end{cases}$$

Отсюда,

$$\dot{A}_{Hr} = \begin{vmatrix} \dot{U}_{Hr} & q_{HV} \\ \dot{U}_{Vr} & q_V \end{vmatrix}, \quad \dot{A}_{Vr} = \begin{vmatrix} q_H & \dot{U}_{Hr} \\ q_{VH} & \dot{U}_{Vr} \end{vmatrix}. \quad (1)$$

Указанные соотношения фактически положены в основу схемы XPIC, приведенной на рис. 4. При этом цифровые фильтры после АЦП обеспечивают взвешивание напряжений ортогональных поляризаций в соответствии с определителем, расположенным в числителе (1), а функции блока управления коэффициентами ассоциируются с нормированием на определитель, стоящий в знаменателе (1).

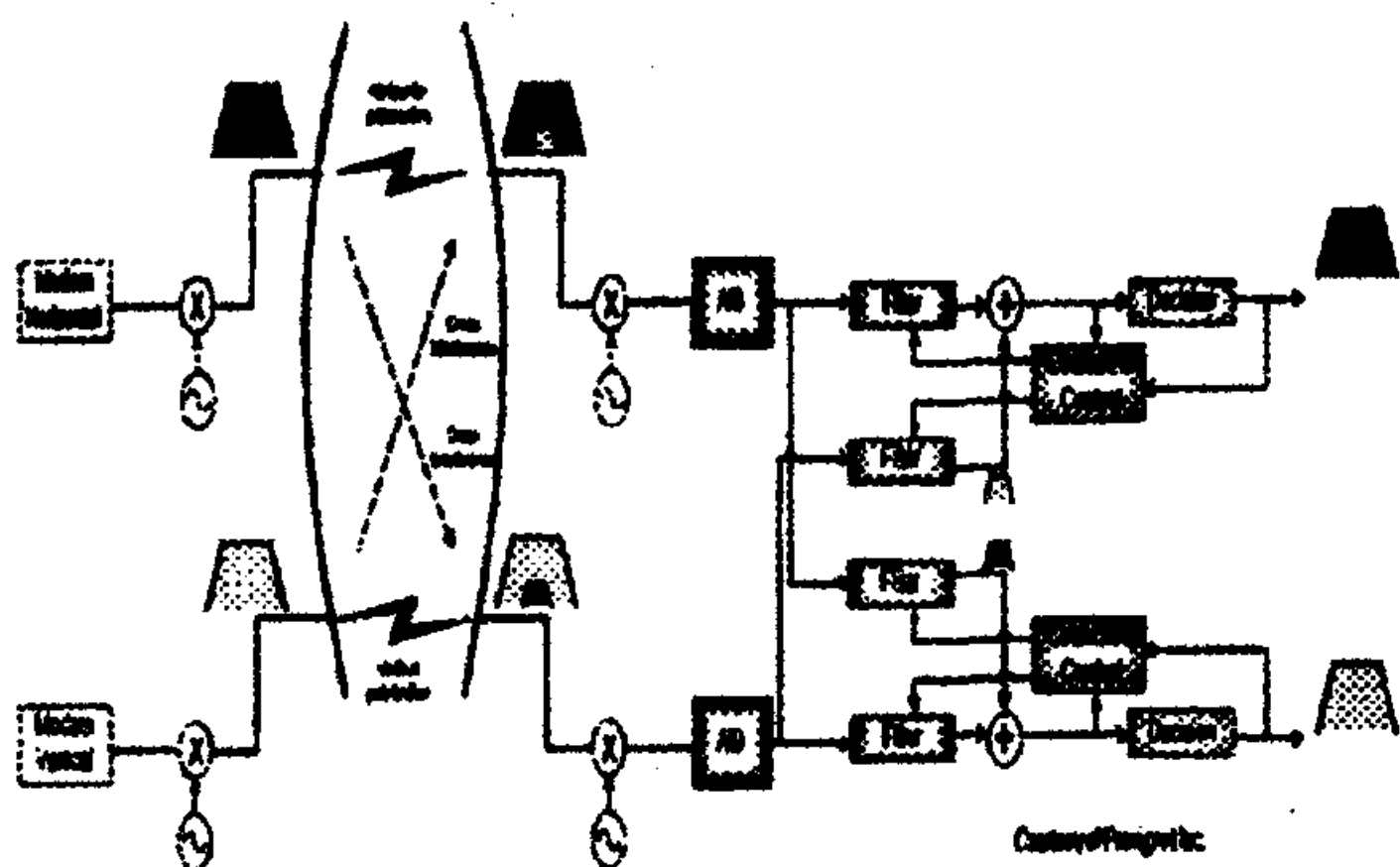


Рис. 4. Принцип реализации метода XPIC

Согласно [3], применение компенсатора кроссполяризованных помех (XPIC) в диапазоне несущих частот ≥ 18 ГГц при модуляции 128 MLQAM позволяет использовать одну и ту же частоту поднесущих в обеих поляризациях, что удваивает пропускную способность линии связи. В частности, в статье [3] представлены результаты успешных полевых испытаний радиорелейной системы SDH с поляризационным уплотнением 2xSTM-1.

Выводы

Снижение влияния кроссполяризованных помех путем использования антенн с высокими значениями ХРД и устройств XPIC, как отмечается в [3], даже при установке стандартной антенны CCDP с поляризацией $0^\circ/90^\circ$, обеспечивает практически такие же характеристики, что и в системе с одной поляризацией. При этом дополнительный разворот установочного угла антенны на 45° минимизирует различия характеристик между вертикальной и горизонтальной поляризациями.

Основным фактором деградации уровней принимаемых сигналов в случае двойной поляризации излучения, как известно, атмосферные осадки. Однако при использовании XPIC в сочетании с предложенными выше методами поляризационного кодирования в определенной мере можно снизить негативные эффекты рассеяния сигналов на гидрометеорах.

Литература

1. Слосар В.И. Системы ММО: принципы построения и обработка сигналов // ЭЛЕКТРОНИКА: НТБ. – 2005. – №8. – С. 52-58.
2. Microwave Radio Systems [Электрон. ресурс]. – Режим доступа: http://support.direct-distribution.de/Marconi/Marconi_LongHaul_mdrs155e_1+1_us.pdf.
3. Бобков В.Ю., Ефимов М.В., Азбукин А.Ю., Yoshio Ito. В поиске новой эффективности. Кроссполяризационная развязка в радиорелейных системах // Connect! Мир Связи. – 12.2004. [Электрон. ресурс]. – Режим доступа: <http://www.connect.ru/article.asp?id=5259>.
4. Doubling Capacity in Wireless Channels. – Provigent Inc. Los Altos, USA. – November, 2004 [Электрон. ресурс]. – Режим доступа: http://www.provigent.com/XPIC_WP.PDF.

Поступила в редакцию 10.02.2007

Рецензент: д-р техн. наук, проф. В.С. Харченко, Национальный аэрокосмический университет им. Н.Е. Жуковского «ХАИ», Харьков.